

редаваемого через фильтр изображений не может быть больше $\pi R_i^2/\lambda$. При оптимальном для фильтра радиусе $R_i=R_{i0}$ полное число передаваемых фильтром элементов изображения равно Λ/λ .

Проведенное исследование позволяет сделать следующие выводы.

1. Использование в коллинеарном фильтре светового и звукового пучков конечного радиуса сопровождается смещением центральной частоты фильтра. Это смещение необходимо учитывать при работе спектрографа.

2. Существует оптимальное соотношение между длиной фильтра и радиусом его поперечного сечения, при котором потребляемая фильтром акустическая мощность минимальна, а искажения формы передаточной характеристики незначительны.

3. Максимальное число элементов оптического изображения, которое может быть передано через коллинеарный фильтр без искажений его передаточной характеристики, пропорционально квадрату радиуса звукового пучка и обратно пропорционально длине фильтра.

ЛИТЕРАТУРА

- [1] Harris S., Wallace R.//J. Opt. Soc. Am. 1969. 59, N 6. P. 744.
[2] Chang I.//Appl. Phys. Lett. 1976. 90. P. 12. [3] Волошинов В. Б., Парыгин В. Н.//Вестн. Моск. ун-та. Физ. Астрон. 1980. 21, № 2. С. 90. [4] Балакший В. И., Парыгин В. Н., Чирков Л. Е. Физические основы акустооптики. М., 1985. [5] Магдич Л. Н.//Изв. АН СССР, сер. физ. 1980. 44, № 8. С. 1683.

Поступила в редакцию
06.10.92

ВЕСТН. МОСК. УН-ТА. СЕР. 3, ФИЗИКА. АСТРОНОМИЯ. 1993. Т. 34, № 5

УДК 533.951

НЕЛИНЕЙНАЯ ЛЕНГМЮРОВСКАЯ ВОЛНА: КИНЕТИЧЕСКАЯ ТЕОРИЯ И АСИМПТОТИКИ

А. Н. Гапоненко, Л. С. Кузьменков, О. О. Трубочев
(кафедра теоретической физики)

Численно исследовано поведение нелинейного сдвига частоты, амплитуд второй и третьей гармоник в кубическом по полю волны приближении в релятивистской максвелловской плазме. Указана область применимости низкотемпературных асимптотик для исследуемых величин. Обнаружено, что для волн с фазовой скоростью, близкой к скорости света, хорошее приближение дает холодная гидродинамика.

Нелинейные ленгмюровские волны, впервые исследованные в [1], вновь привлекли интерес в связи с появившимися возможностями их экспериментального изучения [2] и вероятными приложениями (например, плазменное ускорение частиц, см. [3]).

В [4] рассмотрены эти волны для случая слабой нелинейности с учетом конечной температуры плазмы и релятивистской динамики частиц. Влияние захваченных частиц не учитывалось. Получены выражения для нелинейного сдвига частоты, амплитуд второй и третьей гармоник. Предсказано явление «кинетического резонанса»: обращение в нуль нелинейного сдвига частоты при определенных соотношениях между температурой плазмы и фазовой скоростью волны, которое может привести к заметному увеличению максимально достижимой ам-

плитуды электрического поля при возбуждении двухмодовой лазерной накачкой [5]. Полученные формулы содержат интегральные выражения (аналогичные интегралам, входящим в продольную диэлектрическую проницаемость [6]), не сводящиеся к известным специальным функциям. Значительно более простой вид имеют их низкотемпературные асимптотики [4], однако не ясна область применимости этих асимптотик.

В настоящей работе численно исследовано поведение нелинейного сдвига частоты, амплитуд второй и третьей гармоник в зависимости от температуры плазмы и фазовой скорости волны и на этой основе проанализировано соответствие низкотемпературных асимптотик точным значениям этих функций в широком диапазоне температур.

Рассмотрим стационарную продольную волну $E(\tau) = \{0, 0, E(\tau)\}$, распространяющуюся вдоль оси z в однородной изотропной плазме. Здесь $\tau = t - qz/c$, $q = c/u$, c — скорость света, u — фазовая скорость волны. В кубическом по полю приближении из системы уравнений Власова—Максвелла получим уравнение [4]

$$\frac{1}{\omega_i^2} \frac{d^2 \psi}{d\tau^2} + \psi = \frac{M\psi^2}{e} + \frac{N\psi^3}{e^2}, \quad (1)$$

где $\psi(\tau) = \int eE(\tau) d\tau$,

$$M = -\frac{2\pi c e^3}{\omega_i^2} \int \frac{p_{0\perp}^2}{p_0^3 (1 - qv_z/c)^3} \frac{\partial f_0}{\partial p_z} d^3 p, \quad (2)$$

$$N = -\frac{2\pi c e^4}{\omega_i^2} \int \frac{p_{0\perp}^2 (p_z - qp_0)}{p_0^5 (1 - qv_z/c)^5} \frac{\partial f_0}{\partial p_z} d^3 p, \quad (3)$$

$$\omega_i^2 = -4\pi e^2 \int \frac{c/q}{1 - qv_z/c} \frac{\partial f_0}{\partial p_z} d^3 p, \quad (4)$$

$$p_0^2 = p^2 + m^2 c^2, \quad p_{0\perp}^2 = p_0^2 - p_z^2.$$

Подынтегральные выражения для M , N , ω_i^2 (2)–(4) при подстановке в качестве f_0 релятивистского распределения Максвелла $f_{0M} = A \exp\{-cp_0/\theta\}$ (θ — температура электронов, отнесенная к энергии покоя электрона) имеют полюсные особенности в досветовой области ($q > 1$) при $v_z = u$. Это является следствием пренебрежения захваченными частицами, т. е. в (2)–(4) f_0 — функция распределения только пролетных частиц. Так как пролетные частицы со скоростями, близкими к u , отсутствуют, то в этой области необходимо полагать $f_0 = 0$.

Решение (1) имеет вид [4]

$$E(\tau) = \frac{d\psi}{d\tau} = E_0 \sin(\omega\tau + \varphi_0) + \frac{ME_0^2}{3\omega_l} \sin[2(\omega\tau + \varphi_0)] - \frac{3}{32} \left(N - \frac{2}{3} M^2 \right) \frac{E_0^3}{\omega_i^2} \sin[3(\omega\tau + \varphi_0)], \quad (5)$$

$$\omega^2 = \omega_i^2 \left[1 - \left(\frac{5}{6} M^2 + \frac{3}{4} N \right) \frac{E_0^2}{\omega_i^2} \right] \equiv \omega_l^2 \left[1 + \xi \frac{E_0^2}{\omega_i^2} \right]. \quad (6)$$

Если $f_0 = f_{0M}$ (с учетом сделанного выше замечания), то поведение величин M , N , ξ в пределе низких температур электронов плазмы Φ определяется асимптотическими формулами [4]

$$M \approx \frac{3}{2} \frac{e}{mc} q \left(1 + 7 \frac{\Phi}{mc^2} q^2 \right), \quad (7)$$

$$N \approx \frac{1}{2} \left(\frac{e}{mc} \right)^2 - \frac{5}{2} \left(\frac{e}{mc} \right)^2 q^2 \left(1 + 18 \frac{\Phi}{mc^2} q^2 \right), \quad (8)$$

$$\xi \approx -\frac{3}{8} \left(\frac{e}{mc} \right)^2 + \frac{15}{2} \left(\frac{e}{mc} \right)^2 \frac{\Phi}{mc^2} q^4. \quad (9)$$

Для произвольных изотропных распределений $f_0(p)$ в формулах (2)–(4) можно выполнить интегрирование по углам сферической системы координат в импульсном пространстве. В результате найдем

$$M = -\frac{4\pi^2 c e^3}{\omega_i^2} \int_0^\infty \frac{p^2}{p_0^3} \left\{ \frac{3p^2}{a^4} \ln \left(\frac{1-a}{1+a} \right) + \right. \\ \left. + 2 \frac{a^4 (p^2 + p_0^2) - 5a^2 p^2 + 3p^2}{a^3 (1-a^2)^2} \right\} \frac{\partial f_0}{\partial p} dp, \quad (10)$$

$$N = -\frac{4\pi^2 c e^4}{\omega_i^2} \int_0^\infty \frac{p^2}{p_0^5} \left\{ \frac{p^2}{a^5} \ln \left(\frac{1-a}{1+a} \right) + \frac{2}{3} \frac{1}{(1-a^2)^4} \times \right. \\ \left. \times (qp_0 a^3 (2p^2 - 1) - pa^2 (7p^2 - 5) - qp_0 a (2p^2 + 5) + \right. \\ \left. + 15p^3 + p - 11p^3/a^2 + 3p^3/a^4) \right\} \frac{\partial f_0}{\partial p} dp, \quad (11)$$

$$\omega_i^2 = -8\pi^2 e^2 \int_0^\infty qp_0^2 \left\{ 2a + \ln \left(\frac{1-a}{1+a} \right) \right\} \frac{\partial f_0}{\partial p} dp. \quad (12)$$

Здесь $a \equiv qp/p_0$.

Для распределений типа релятивистского максвелловского дальнее интегрирование в (10)–(12) выполнимо лишь численно.

При расчетах использовалась f_0 , совпадающая с релятивистским распределением Максвелла f_{0M} для $p < R$ и равная нулю при $p > R$. Таким образом, R — параметр, имеющий смысл максимального значения импульса электронов. Нормировочная константа для функции распределения вычислялась интегрированием (она зависит от R). Вообще говоря, все результаты являются функциями R . Однако для любого Φ можно выбрать q такие, что существует диапазон значений $R_1(\Phi) < R < R_2(q)$, в котором зависимость от R становится несущественной. При этом $R_1(\Phi)$ определяется условием малости $f_{0M}(R_1)$, а $R_2(q)$ — требованием того, чтобы точка $v_z = u$ не попадала в область интегрирования $[0, R]$. Практически выбиралось

$$R = mc((\chi\Phi + 1)^2 - 1)^{1/2}, \quad \chi > 20$$

(при этом $f_{0M}(R) \sim \exp(-\chi) < 2 \cdot 10^{-9}$), а область изменения q ограничивалась условием $(q^2 - 1)R^2 < 0,99$. Равенство $(q^2 - 1)R^2 = 1$ соответствует полюсу в конечной точке отрезка интегрирования.

Результаты расчетов коэффициента ξ в выражении для нелинейного сдвига частоты (см. (6)) представлены на рис. 1—3 сплошными линиями, штриховыми даны соответствующие асимптотики (9). По осям отложены безразмерные величины: ξ выражена в единицах $(e/mc)^2$, температура плазмы ϕ — в долях mc^2 . На рис. 1, 2 изображены кривые $\xi(q)$ для различных значений ϕ . Видно, что асимптотики являются хо-

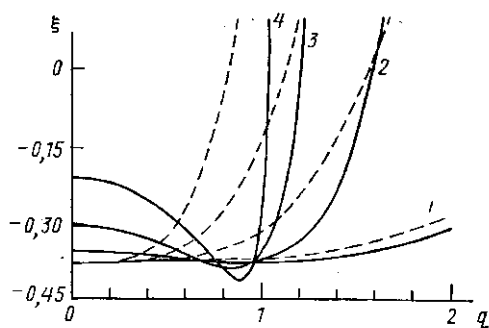


Рис. 1. Зависимость $\xi(q)$ при $\phi=8 \cdot 10^{-4}$ (1); $8 \cdot 10^{-3}$ (2); 0,03 (3) и 0,1 (4)

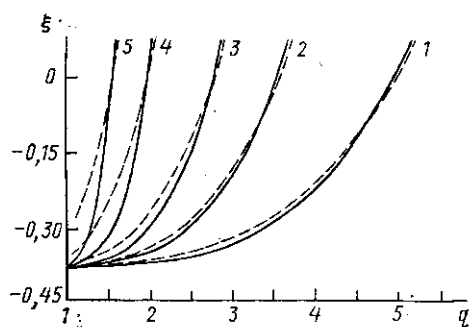


Рис. 2. Зависимость $\xi(q)$ при $\phi=8 \cdot 10^{-5}$ (1); $3 \cdot 10^{-4}$ (2); $8 \cdot 10^{-4}$ (3); $3 \cdot 10^{-3}$ (4) и $8 \cdot 10^{-3}$ (5)

рошей аппроксимацией в диапазоне от $q=0$ до нескольких единиц лишь для температур $\phi \leq 10^{-3}$. Так, уже при $\phi=0,03$, $q=1$ значение ξ отличается от предсказываемого асимптотикой более чем в два раза. Кроме того, становится заметной немонотонность поведения ξ для сверхсветовых волн, из-за которой его значение по модулю превосходит вычисленное в гидродинамическом приближении. Это означает, что сдвиг квадрата частоты ξE^2 сверхсветовых волн в плазме с конечной температурой относительно значений ω^2 , определяемых линейной теорией, может быть больше сдвига квадрата частоты в холодной плазме.

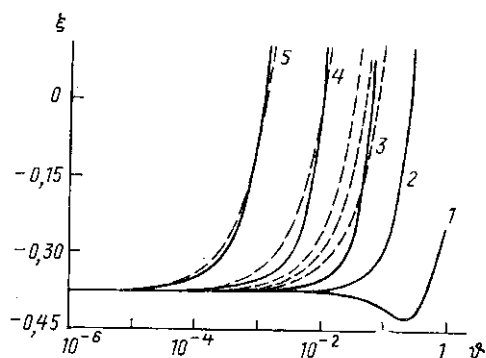


Рис. 3. Зависимость $\xi(\phi)$ при $q=0,9$ (1); 1 (2); 1,1 (3); 1,5 (4) и 2,5 (5)

В противоположность этому в досветовой области сдвиг всегда уменьшается с ростом температуры. Низкотемпературные асимптотики не отражают указанного явления в сверхсветовой области.

При $q \approx 1$ вычисленные значения ξ лучше аппроксимируются формулами холодной гидродинамики, чем формулой (9). С ростом температуры отклонение ξ от гидродинамических значений растут медленнее, чем соответствующие отклонения от асимптотических значений. Например, при температуре $\phi=0,1$ и $q=1$ $\xi=-0,29$, соответствующее асимптотическое значение $\xi_{as}=0,54$, а в приближении холодной гидродинамики $\xi_{hd}=-0,375$. Однако при высоких температурах очень сильна зависимость $\xi(q)$: изменение q на несколько процентов приводит к

изменению ξ от максимального значения до нуля (а в гидродинамическом приближении ξ есть просто константа).

Из рис. 2 особенно наглядно видно, что наилучшее соответствие (9) точному значению наблюдается в окрестности тех значений ϑ и q , для которых $\xi(\vartheta, q) = 0$. Это приводит к тому, что полученная из (9) кривая кинетического резонанса $20\vartheta q^4 = mc^2$ согласуется с вычисленной по точным формулам кривой в более широком диапазоне температур — до $\vartheta \approx 0,02$ (а не до $\vartheta \approx 10^{-3}$, где справедливы (7) — (9)).

Зависимость $\xi(\vartheta)$ для нескольких значений q приведена на рис. 3.

Введенные ранее [4] функции $M(\vartheta, q)$, $N(\vartheta, q)$ (см. (2), (3)), определяющие амплитуды второй и третьей гармоник (5), ведут себя по отношению к своим асимптотическим значениям аналогично функции $\xi(\vartheta, q)$. Значения M , N в гидродинамическом пределе могут быть получены из (7) — (8) подстановкой $\vartheta = 0$. При $q = 1$ лучшим приближением является гидродинамическое, а при $q > 1,5$, $\vartheta > 8 \cdot 10^{-5}$ большую точность дают асимптотические выражения (7) — (9).

Работа выполнена в рамках программы «Университеты России».

ЛИТЕРАТУРА

[1] Ахнезер А. И., Половин Р. В. // ЖЭТФ. 1956. 30. С. 915. [2] Katsouleas T., Mori W. B. // Phys. Rev. Lett. 1988. 61. P. 90. [3] Rosenzweig J. B., Cole B., Ho C. et al. // Physica Scripta T. 1990. 30. P. 110. [4] Кузьменков Л. С., Соколов А. А., Трубачев О. О. // Изв. вузов, Физика. 1983. 12. С. 17. [5] Вахдейн А. С., Кузьменков Л. С., Трубачев О. О. // Физика плазмы. 1989. 15. С. 1197. [6] Godfrey B. B., Newberger B. S., Taggart K. A. // IEEE Trans. Plasma Sci. 1975. 3. P. 68.

Поступила в редакцию
18.11.92

ВЕСТН. МОСК. УН-ТА. СЕР. 3, ФИЗИКА. АСТРОНОМИЯ. 1993. Т. 34, № 5

АКУСТИКА И МОЛЕКУЛЯРНАЯ ФИЗИКА

УДК 534.222.2

ПРЕОБРАЗОВАНИЕ ВИДЕОИМПУЛЬСА ПРОДОЛЬНЫХ ВОЛН В СДВИГОВЫЕ ВОЛНЫ ПРИ ПРОХОЖДЕНИИ ГРАНИЦЫ РАЗДЕЛА ЖИДКОСТЬ—ТВЕРДОЕ ТЕЛО

А. А. Карабутов, М. П. Матросов, Н. Б. Подымова
(кафедра общей физики и волновых процессов)

Экспериментально исследовано преобразование видеоимпульса продольных волн с плоским фазовым фронтом в сдвиговые волны на границе раздела жидкость — твердое тело. Импульсы продольных волн стандартных лазерных источников звука имели однополярную и биполярную форму в спектральном диапазоне 1—70 МГц. Были зарегистрированы импульсы сдвиговых волн с плоским фазовым фронтом и линейной поляризацией. Спектральный диапазон этих импульсов составлял 1—15 МГц.

Лазерные источники звука в настоящее время становятся «стандартными» источниками мощных акустических видеоимпульсов [1—4]. При плоском фазовом фронте (когда граница поглощающей среды плоская, а лазерный пучок широкий) возбуждаются преимущественно импульсы продольных акустических волн. Они активно используются для калибровки широкополосных акустических приемников и гидрофонов [5, 6], настройки систем неразрушающего контроля и акустической эмиссии [7], в широкополосной акустической спектроскопии [8, 9]. При